

Universität Dortmund – Fachbereich Informatik

Wintersemester 2004/05

Seminar: “Plausibilitäten und Präferenzen in der Wissensrepräsentation”

Dozentin: Prof. Dr. G. Kern-Isberner

Referent: Michael Striewe

NoMoRe : Non-monotonic Reasoning with Logic Programs

Inhaltsverzeichnis

I Einleitung.....	3
II Theoretischer Hintergrund.....	3
Aufbau von Regeln.....	3
Definition von Antwortmengen.....	3
Aufbau des “block graph”.....	4
Knotenfärbung auf dem block graph.....	5
III Implementierung.....	6
Propagation.....	6
Backward Propagation.....	7
Jumping.....	8
Korrektheit und Vollständigkeit.....	9
IV Evaluation.....	10
Benchmarks.....	10
Grenzen regelbasierter Systeme.....	11
V Zusammenfassung.....	11
VI Literatur.....	12

Abbildungsverzeichnis

Abbildung 1: Block graph in der Ausgabe des DaVinci-Tools.....	4
Abbildung 2: Architektur von NoMoRe.....	5
Abbildung 3: Ausschnitt aus einem block graph mit partieller Färbung.....	7
Abbildung 4: Beispielgraph für die Anwendung von Backward Propagation.....	8
Abbildung 5: Beispielgraph für die Anwendung von Jumping.....	8

Tabellenverzeichnis

Tabelle 1: Benchmarks für NoMoRe.....	10
Tabelle 2: Zeit-Benchmarks für NoMoRe.....	10

I Einleitung

Das an der Universität Potsdam entwickelte System NoMoRe implementiert Antwortmengenberechnung für logische Programme.[1][2]

Es basiert auf einer deklarativen Repräsentation eines Problems durch logische, regelbasierte Programme in Prolog-Syntax und berechnet für diese Graphen, in denen die Regeln die Knoten bilden. Über die Berechnung von Graphfärbungen auf diesen Graphen, die die Anwendbarkeit oder Nicht-Anwendbarkeit von Regeln kennzeichnen, gelangt es zu Antwortmengen für das gegebene Problem. Damit steht NoMoRe in Konkurrenz zu anderen Lösungssystemen für regelbasierte Programme, die Graphen über die atomaren Aussagen konstruieren.

Das Programm wurde für das Betriebssystem UNIX entwickelt, ist aber auch unter Windows mit Einschränkungen nutzbar. Es arbeitet als Erweiterung für Prolog-Umgebungen wie Eclipse oder SWI und ist für die wissenschaftliche Nutzung kostenlos im Internet unter der Adresse <http://www.cs.uni-potsdam.de/~linke/nomore/> verfügbar. Für die grafische Ausgabe der berechneten Graphen bietet es eine Schnittstelle zu DaVinci (<http://www.informatik.uni-bremen.de/daVinci/>) an.

Im Folgenden wird zunächst der theoretische Hintergrund der Berechnung erläutert, dann die Implementierung beschrieben und abschließend eine Evaluierung der Ergebnisse vorgenommen.

II Theoretischer Hintergrund

Aufbau von Regeln

Ein logisches Programm P besteht aus einer Regelmenge. Die verwendeten Regeln r haben die Form $p \leftarrow q_1, \dots, q_n, \text{not } s_1, \dots, \text{not } s_k$ mit Atomen $p, q_i (0 \leq i \leq n)$ und $s_j (0 \leq j \leq k)$. Für $n = k = 0$ ist eine Regel ein Fakt. In den Regeln gilt *not* als *negation as failure*. Die Entwickler von NoMoRe verzichten auf eine Unterscheidung von Atomen und Literalen und verwenden grundsätzlich nur den Begriff des Atoms. Zur einfacheren Handhabung und Benennung von Teilen der Regeln werden außerdem folgende Abkürzungen definiert:

$$\begin{aligned} \text{head}(r) &= p \\ \text{body}^+(r) &= \{q_1, \dots, q_n\}, \text{body}^-(r) = \{s_1, \dots, s_k\} \\ \text{body}(r) &= \text{body}^+(r) \cup \text{body}^-(r) \end{aligned}$$

Die Definitionen lassen sich wie üblich auf Regelmengen erweitern. Ferner bezeichnet $Facts(P)$ die Menge aller Fakten in einem Programm P und $Atoms(P)$ die Menge aller verwendeten Atome. Zu einer Regel r erhält man die Regel r^+ , indem man $\text{body}^-(r)$ ignoriert und nur $\text{body}^+(r)$ verwendet. Die Menge der r^+ -Regeln bildet dann P^+ .

Definition von Antwortmengen

Die "Reduktion" P^X eines Programmes P relativ zu einer Atommenge X ist definiert durch

$$P^X = \{r^+ \mid r \in P \wedge \text{body}^-(r) \cap X = \emptyset\}$$

und enthält damit nur genau die r^+ -Regeln, für die $\text{body}^-(r)$ nicht den in X gegebenen Annahmen widerspricht.

Eine Menge X von Atomen ist “abgeschlossen unter” einem Programm P , genau dann, wenn gilt:

$$\forall r \in P : body(r) \subseteq X \Rightarrow head(r) \in X$$

Eine Atommengung ist also genau dann abgeschlossen, wenn das Anwenden einer Regel keine Aussage erzeugt, die nicht schon bekannt ist. Die kleinste abgeschlossene Atommengung unter einem Programm P wird als $Cn(P)$ bezeichnet.

Aus diesen beiden Definitionen ergibt sich die Definition von Antwortmengen, denn eine Atommengung X ist Antwortmenge für ein Programm P genau dann, wenn $Cn(P^X) = X$. X ist also dann eine Antwortmenge, wenn sich nach dem Weglassen aller nicht anwendbaren Regeln (Reduktion) und der anschließenden Anwendung aller anwendbaren Regeln keine zusätzlichen atomaren Aussagen treffen lassen (Abgeschlossenheit) und sich gleichzeitig keine Aussagen als unnötig erweisen (Minimalität). Dies entspricht der intuitiven Vorstellung davon, wie sinnvolle Aussagen auf der Basis einer Regelmengung getroffen werden. Antwortmengen sind daher geeignet, logisches Schließen als berechenbaren Vorgang abzubilden.

Die Menge der “erzeugenden Regeln” (generating rules) für ein Programm P bzgl. einer Atommengung X ist definiert als

$$GR(P, X) = \{r \in P \mid body^+(r) \subseteq X, body^-(r) \cap X = \emptyset\}$$

Damit ist X ebenfalls dann eine Antwortmenge, wenn $X = Cn(GR(P, X)^+)$ gilt. Im allgemeinen Fall ist dabei $GR(P, X)^+$ nicht gleich P^X , wie an $P = \{a \leftarrow, b \leftarrow c\}$ und $X = \{a\}$ leicht nachzurechnen ist.

Beiden Definitionen von Antwortmengen ist gemein, dass sie als Eingabe neben dem Programm P auch eine Menge X erwarten und sich aus ihnen somit keine direkte Berechnungsvorschrift für die Erzeugung von Antwortmengen gewinnen lässt.

Aufbau des “block graph”

Der von NoMore implementierte graphische Ansatz benötigt eine sortierte Regelmengung und bezeichnet daher eine Regelmengung P als “begründet”, genau dann, wenn

$$\begin{aligned} \langle r_i \rangle_{i \in I} \text{ eine Aufzählung ist, so dass} \\ \forall i \in I : body^+(r_i) \subseteq head(\{r_1, \dots, r_{i-1}\}) \end{aligned}$$

gilt. Für jedes Programm P gibt es eine bzgl. ihrer Größe eindeutige maximale begründete Untermengung P' . Mit Hilfe dieser Untermengung kann ein sogenannter “block graph” Γ_P mit folgenden Merkmalen definiert werden:

$$\begin{aligned} \Gamma_P &= (V_P, A_P^0 \cup A_P^1) \\ V_P &= P' \\ A_P^0 &= \{(r', r) \mid r', r \in P' \wedge head(r') \in body^+(r)\} \\ A_P^1 &= \{(r', r) \mid r', r \in P' \wedge head(r') \in body^-(r)\} \end{aligned}$$

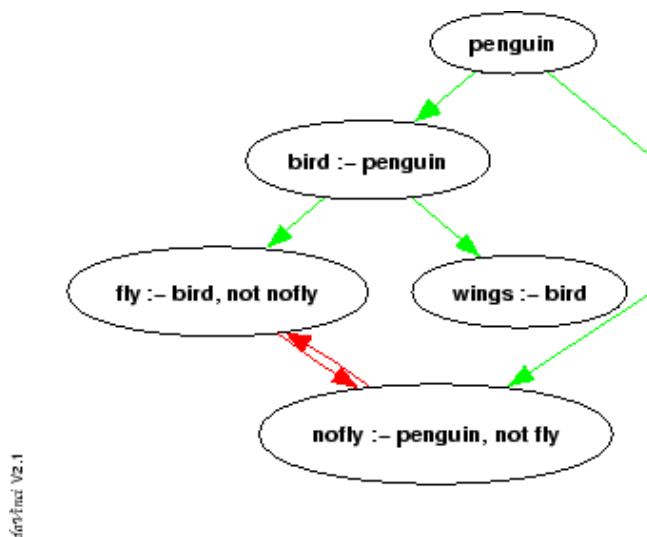
Der Graph enthält die Regeln als Knoten und enthält in seinen Kanten Informationen über die Beziehungen zwischen Knoten. Eine 0-Kante verläuft von einer Regel r' zu einer Regel r , wenn beide Regeln in P' liegen und in r' auf eine atomare Aussage geschlossen wird, die in $body^+(r)$ benötigt wird. 0-Kanten kodieren damit die Begründetheit von Teilmengen in

den Graphen.

Eine 1-Kante verläuft von einer Regel r' zu einer Regel r , wenn in r' auf eine atomare Aussage geschlossen wird, die in $body(r)$ vorkommt und damit die Anwendung dieser Regel blockiert. 1-Kanten kodieren damit Blockade von Regeln in den Graphen.

Abbildung 1 zeigt den block graph für ein einfaches Anwendungsbeispiel in der grafischen Ausgabe des DaVinci-Tools. Die zugehörige Regelmenge in Prolog-Syntax lautet:

```
penguin.
bird :- penguin.
wings :- bird.
fly :- bird, not nofly.
nofly :- penguin, not fly.
```



da Vinci V2.1

Abbildung 1: Block graph in der Ausgabe des DaVinci-Tools.

0-Kanten sind grün markiert, 1-Kanten rot. Die Regeln sind in den Knoten in Prolog-Syntax angegeben.

Gültige Antwortmengen für dieses Programm sind $X_1 = \{penguin, bird, wings, fly\}$ und $X_2 = \{penguin, bird, wings, nofly\}$.

Knotenfärbung auf dem block graph

noMore versucht nun, auf dem erzeugten Graphen eine Knotenfärbung $C: P \rightarrow \{\ominus, \oplus\}$ zu finden, die angibt, welche Regeln anwendbar sind und welche nicht. Dabei gilt eine Regel r in einem partiell oder vollständig gefärbten Graphen als “blockiert”, wenn sie einen 1-Vorgänger hat, für den gilt $C(r') = \oplus$. Eine Regel r gilt als “begründet”, wenn die folgenden vier Bedingungen erfüllt sind:

1. es existiert ein azyklischer Subgraph $G_r = (V_r, A_r)$ auf Γ_P mit $A_r \subseteq A_P^0$
2. $r \notin V_r$ und $body^+(r) \subseteq head(V_r)$
3. für alle $r' \in V_r$ und $q' \in body^+(r')$ existiert ein $r'' \in V_r$ mit $q' = head(r'') \wedge (r'', r') \in A_r$
4. $C(V_r) = \oplus$

Der Subgraph G_r gibt damit eine Art Beweisfolge an, wie man über die Anwendung vorhergehender Regeln die Regel r begründen kann.

Bei einer vollständigen Graphfärbung $C(r)$ handelt es sich um ein sogenanntes *a-coloring*, wenn für alle Regel r in P die folgende Bedingung erfüllt ist:

$$C(r) = \oplus \Leftrightarrow r \text{ ist begründet und nicht blockiert bzgl. } \Gamma_P \text{ und } C$$

Diese Definition kann genutzt werden, um eine Antwortmenge zu berechnen, denn es gilt $GR(P, X) = \{r \in P \mid C(r) = \oplus\}$ [3], wodurch die explizite Angabe der Atommenge X durch eine implizite Angabe durch die Einfärbung anwendbarer Regeln ersetzt wird. Nach der Definition von erzeugenden Regeln werden dort diejenigen Regeln r nicht berücksichtigt, für die andere Regeln auf ein Atom aus $\text{body}^-(r)$ schliessen. Dies entspricht der Blockade von Regeln im Graphen. Die Begründetheit von Regeln im Graphen entspricht der Berücksichtigung von Regeln für die Menge der erzeugenden Regeln, denn es werden in beiden Fällen nur Regeln r berücksichtigt, für die alle Atome aus $\text{body}^+(r)$ durch andere Regeln erschlossen werden.

Auf der Basis dieses Zusammenhangs lässt sich ein Algorithmus entwickeln, der ein Programm P als Eingabe erwartet und über die Erzeugung eines Graphen und die Berechnung eines *a-colorings* zur Ausgabe einer Antwortmenge kommt. NoMoRe implementiert diesen Algorithmus.

III Implementierung

NoMoRe erwartet die Eingabe von Regeln in Prolog-Notation und bereits in begründeter Reihenfolge. Das Einlesen erfolgt über einen Parser, dem bei Bedarf ein herkömmlicher Grounder vorgeschaltet werden kann. Nach dem Parsen berechnet das System zunächst den Graphen und kompiliert daraus Prolog Code zur Berechnung der Graphfärbung und zu deren Interpretation als Antwortmengen.

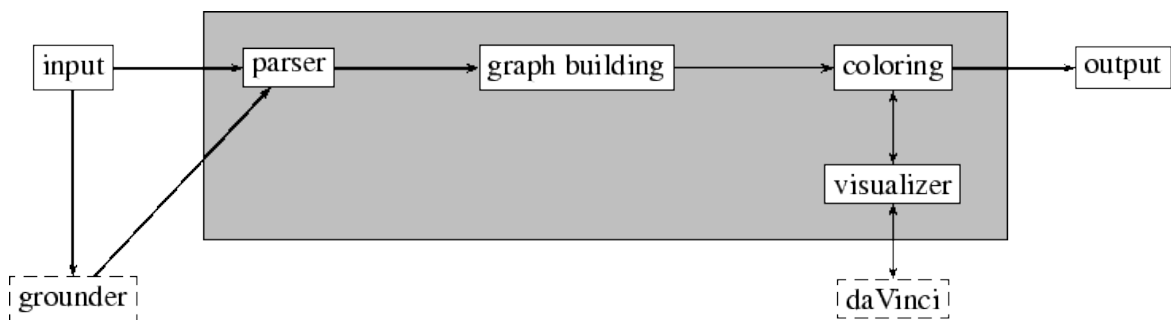


Abbildung 2: Architektur von NoMoRe

Propagation

Die vollständige Färbung des Graphen wird durch die schrittweise Erweiterung einer partiellen Graphfärbung über eine rekursive Funktion erzeugt. Die wichtigste Vorgehensweise stellt dabei die sogenannte "Propagation" dar, bei der ausgehend von einem gefärbten Knoten bestimmte benachbarten Knoten ebenfalls eingefärbt werden. Das

Problem der Berechnung einer vollständigen Graphfärbung wird somit auf die Berechnung lokaler Erweiterungen für partielle Graphfärbungen reduziert.

Die Definitionen von Begründetheit und Blockiertheit müssen für partielle Graphfärbungen entsprechend angepasst werden. Es gilt:

$$\begin{aligned}
 p\text{-begründet}(r) &\Leftrightarrow \forall q \in \text{body}^+(r) : \exists r' \in \text{Pred0}(r) : q = \text{head}(r') \wedge C(r') = \oplus \\
 p\text{-unbegründet}(r) &\Leftrightarrow \exists q \in \text{body}^+(r) : \forall r' \in \text{Pred0}(r) : q \neq \text{head}(r') \vee C(r') = \ominus \\
 p\text{-blockiert}(r) &\Leftrightarrow \exists r' \in \text{Pred1}(r) : C(r') = \oplus \\
 p\text{-unblockiert}(r) &\Leftrightarrow \forall r' \in \text{Pred1}(r) : C(r') = \ominus
 \end{aligned}$$

Propagation kann in den folgenden Fällen eingesetzt werden:

- (A) Ist eine Regel r mit \oplus markiert und r' ein 1-Nachfolger, dann wird r' mit \ominus markiert.
- (B) Ist eine Regel r mit \ominus markiert und r' ein 0-Nachfolger und es gilt nicht p -begründet(r'), dann wird r' mit \ominus markiert.
- (C) Ist eine Regel r mit \oplus markiert und r' ein 0-Nachfolger und es gilt p -begründet(r') sowie p -unblockiert(r'), dann wird r' mit \oplus markiert.
- (D) Ist eine Regel r mit \ominus markiert und r' ein 1-Nachfolger und es gilt p -begründet(r') sowie p -unblockiert(r'), dann wird r' mit \oplus markiert.

Falls mehrere ungefärbte Knoten im nächsten Schritt eingefärbt werden könnten, wird die Entscheidung, mit welchem Knoten fortgesetzt wird, nicht-deterministisch getroffen. Über Backtracking werden alternative Entscheidungen getroffen, wenn die erste Wahl zu keiner Lösung führt. Die rekursive Basisfunktion von NoMore sieht in Pseudocode folgendermaßen aus:

```

function colorP(U, N : list; C : partial mapping)
  var r : node
  if propagateP(N, C) then
    U := U \ (C⊖ ∪ C⊕)
    if chooseP(U, C, r) then
      U := U \ {r}
      if colorP(U, {r}, (C⊖, C⊕ ∪ {r})) then
        return true
      else
        return colorP(U, {r}, (C⊖ ∪ {r}, C⊕))
    else
      return propagateP(U, (C⊖ ∪ U, C⊕))
  else
    return false
  
```

Dabei implementiert **choose_P** die nicht-deterministisch Auswahl eines Knoten und **propagate_P**, die deterministischen Folgen seiner Einfärbung.

Sei $L_1(P) = \{r \in P \mid r \in \text{Pred1}(r)\}$ die Menge aller 1-Schleifen in einem Programm P .

Wird **color_P** auf einem Programm zum ersten Mal aufgerufen, so beginnt es mit $C = (L_1(P), \text{Facts}(P))$, $U = P \setminus (\text{Facts}(P) \cup L_1(P))$ und $N = \text{Facts}(P) \cup L_1(P)$. Zu Beginn sind also alle Fakten mit \oplus und alle 1-Schleifen mit \ominus markiert. Die Funktion **color_P** wählt nun einen ungefärbten Knoten aus U aus und versucht ihn mit \oplus einzufärben. Führt dies zu keiner Lösung, versucht **color_P** diesen Knoten mit \ominus zu markieren. Schlägt auch dies fehl, gibt **color_P** false zurück und es gibt keine Lösung. Die Propagation von

Färbungen geschieht dabei unmittelbar nach der Einfärbung eines Knotens und führt dann ggf. auch sofort zu einem Fehler.

Die Erweiterung einer partiellen Färbung nur über Propagation in Richtung der Graphkanten ist nicht effektiv, da es Fälle gibt, in denen Wissen über nötige Knotenfärbungen auch entgegen der Richtung der Graphkanten weitergegeben werden könnte.

Backward Propagation

Wie bei der Propagation in Richtung der Graphkanten gibt es auch bei der "Backward Propagation" theoretisch vier Fälle, in denen entgegen der Richtung der Kanten eine Färbung weitergegeben werden könnte. Allerdings können für diese Richtung keine einfachen lokalen Bedingungen mehr erstellt werden. Abbildung 3 zeigt einen Ausschnitt aus einem block graph mit einer partiellen Graphfärbung. Einerseits ist klar, dass r' mit \ominus markiert werden muss, damit r blockiert ist.

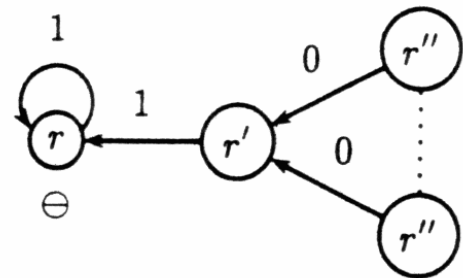


Abbildung 3: Ausschnitt aus einem block graph mit partieller Färbung

Andererseits kann r' nicht mit \ominus markiert werden, denn es gilt nicht $p\text{-begründet}(r')$. Zur Lösung dieses Problems wird eine dritte Farbe $+$ eingeführt, um Knoten r' zu markieren, auch wenn $p\text{-begründet}(r')$ noch nicht gilt. Im späteren Verlauf der Berechnung der Färbung über Propagation wird diese dann durch \ominus ersetzt, falls dies möglich ist. Muss ein mit $+$ gefärbter Knoten später mit \ominus eingefärbt werden, so schlägt die Färbung fehl und color_p gibt false zurück.

Daraus ergeben sich vier weitere lokale Färbungsregeln für Backward Propagation:

- (E) Ist eine Regel r' mit \ominus markiert und r ein 1-Vorgänger von r' , dann wird r mit \ominus markiert.
- (F) Ist eine Regel r' mit \ominus markiert und es gilt $p\text{-begründet}(r')$ und r ist der einzige 1-Vorgänger von r' , der nicht mit \ominus markiert ist, dann wird r mit $+$ markiert.
- (G) Ist eine Regel r' mit \ominus markiert und r ist der einzige begründbare und nicht mit \ominus markierte 0-Vorgänger für ein Atom aus $\text{body}^+(r)$, dann wird r mit $+$ markiert.
- (H) Ist eine Regel r' mit \ominus markiert und es gilt $p\text{-unblockiert}(r')$ und r ist der einzige unbegründete und nicht mit \ominus markierte 0-Vorgänger für ein Atom aus $\text{body}^+(r)$, dann wird r mit \ominus markiert.

Der Vorteil der Anwendung von Backward Propagation ist eine Reduktion der notwendigen Anzahl von nicht-deterministischen Entscheidungen.

Abbildung 4 zeigt ein Beispiel für die Anwendung von Backward Propagation. Zu Beginn kann nichts propagiert werden, denn es gibt weder Fakten noch 1-Schleifen. O.b.d.A. wähle der Algorithmus nun Knoten r_a . Zunächst wird dieser mit \ominus markiert, was zur Propagation von \ominus für r_b und r_d führt und dies wiederum zur Propagation von \ominus für r_c . Damit ist eine erste vollständige Färbung gefunden worden, ohne dass Backward

Propagation benötigt wurde.

Nun wird r_a mit \ominus markiert. In dieser Situation ist noch keine Regel anwendbar, so dass eine weitere nicht-deterministische Entscheidung getroffen werden muss. Angenommen, der Algorithmus wählt nun r_b und markiert den Knoten mit \oplus , so ergibt sich wiederum nur durch Propagation eine weitere gültige Graphfärbung. Wird r_b dagegen ebenfalls mit \ominus markiert, so ist mit den Regeln (A)-(D) keine Propagation möglich und ohne Backward Propagation müsste eine weitere nicht-deterministische Entscheidung getroffen werden. Regel (F) ermöglicht es dagegen in diesem Fall, r_c mit $+$ zu markieren. Dann bleibt nur noch r_d unmarkiert. Beide Färbeversuche schlagen dort wegen r_a bzw. r_c sofort fehl und der Versuch kann sofort abgebrochen werden. In diesem Beispiel wurde nur einmal eine Regel des Backward Propagation angewandt, was aber sofort zu einer Vermeidung unnötiger Versuche geführt hat, da im anderen Fall zunächst ein Knoten hätte gewählt werden müssen und dann möglicherweise ein erfolgreicher Propagation-Schritt möglich gewesen wäre, bevor ein Widerspruch auftritt.

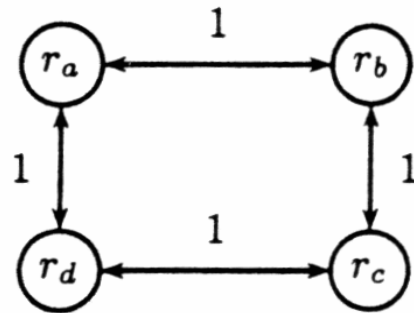


Abbildung 4: Beispielgraph für die Anwendung von Backward Propagation

Jumping

Eine weitere Verbesserung des Färbealgorithmus stellte das sogenannte Jumping dar. Bei der Backward propagation enthalten die Regeln (F)-(H) sehr viele Bedingungen, von denen häufig einige nicht erfüllt sind. Das Eintreten dieser Bedingungen kann aber eindeutig von anderen Entscheidungen abhängig sein. Abbildung 5 zeigt eine solche Situation. Es ist eindeutig, dass r_a mit \ominus markiert werden muss, um überhaupt zu einer vollständigen Graphfärbung zu gelangen. Demnach muss r_a blockiert werden. Dazu reicht die Markierung von einem der beiden Knoten r_b und r_d mit \oplus aus. Wenn später r_b gewählt und mit \ominus markiert wird, dann wird genau dies durch Jumping erreicht. Regel (F) wird dann erneut für r_a angewandt und damit die Färbung von r_d erreicht. Dies wiederum führt unmittelbar zur Färbung von r_e nach Regel (A). Das Jumping hat in diesem Fall die sonst später nötige, nicht-deterministische Wahl und Färbung von r_d oder r_e überflüssig gemacht.

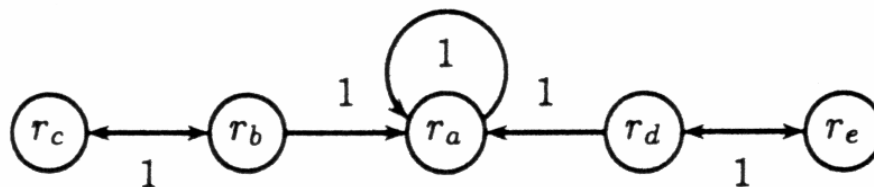


Abbildung 5: Beispielgraph für die Anwendung von Jumping

Damit ergeben sich weitere Regeln für die Propagation:

(I) Ist eine Regel r' mit \ominus markiert und wird ein 1-Vorgänger r ebenfalls mit \ominus

markiert, so wird auf r' erneut Regel (F) angewandt.

- (J) Ist eine Regel r' mit \oplus markiert und wird ein 0-Vorgänger r mit \ominus markiert, so wird auf r' erneut Regel (G) angewandt.
- (K) Ist eine Regel r' mit \ominus markiert und wird ein 0-Vorgänger r mit \oplus markiert, so wird auf r' erneut Regel (H) angewandt.

Die vollständige Propagation-Funktion von NoMoRe sieht damit in Pseudocode folgendermaßen aus:

```

procedure propagateP(N : list, C : part. mapping)
var r' : node;
while N ≠ ∅ do
  select r' from N;
  if (r' ∈ C⊕) then
    if propAP(r', C) fails then fail;
    if propCP(r', C) fails then fail;
    if backpropAP(r', C) fails then fail;
    if backpropCP(r', C) fails then fail;
    if jumpCP(r', C) fails then fail;
  else
    if propBP(r', C) fails then fail;
    if propDP(r', C) fails then fail;
    if backpropBP(r', C) fails then fail;
    if backpropDP(r', C) fails then fail;
    if jumpBP(r', C) fails then fail;
    if jumpDP(r', C) fails then fail;

```

Die Prozeduren **propA_P**, **propB_P**, **propC_P** und **propD_P** implementieren die Regeln (A)-(D), die Prozeduren **backpropA_P**, **backpropB_P**, **backpropC_P** und **backpropD_P** implementieren die Regeln (E)-(H) und die Prozeduren **jumpB_P**, **jumpC_P** und **jumpD_P** implementieren die Regeln (I)-(K).

Korrektheit und Vollständigkeit

Um das in der Theorie gewonnene Ergebnis, dass $GR(P, X) = \{r \in P \mid C(r) = \oplus\}$ gilt, anwenden zu können, muss sichergestellt sein, dass **color_P** genau alle a-colorings für einen gegebenen block graph findet.

Aus der bisherigen Beschreibung der Propagation-Möglichkeiten geht hervor, dass diese keine Knoten-Markierungen entfernen, sondern lediglich deterministisch neue hinzufügen. Ferner prüft die Funktion **propagate_P** alle ermittelten Bedingungen ab. Die gefundenen Lösungen sind daher korrekt.

Aus der Determiniertheit von **propagate_P** ergibt sich, dass lediglich durch die nicht-deterministische Auswahl des nächsten zu bearbeitenden Knoten **choose_P** in **color_P** neue Färbungen induziert werden. In **color_P** werden für jeden Knoten beide Markierungsmöglichkeiten getestet, so dass sichergestellt ist, dass alle Färbungen gefunden werden. Die Menge der gefundenen Lösungen ist daher vollständig.

IV Evaluation

Benchmarks

Das System NoMoRe wurde von den Entwicklern mit verschiedenen Benchmark-Funktionen getestet. Zum Einsatz kamen mehrere NP-vollständige Probleme, Planungsprobleme sowie das n-Damen-Problem. Es wurde sowohl die Laufzeit als auch die Zahl der nicht-deterministischen Entscheidungen gemessen und mit den Ergebnissen anderer Lösungssysteme für Antwortmengen verglichen. Dabei gibt die Zahl der getroffenen nicht-deterministischen Entscheidungen einen guten Einblick in die theoretische Leistungsfähigkeit der Implementierung, sofern man davon ausgeht, dass der deterministische Teil implementierungsunabhängig eine polynomielle Laufzeit benötigt. Für die Analyse der praktischen Anwendbarkeit ist dagegen eher die absolute Laufzeit in Interesse, die nicht in jedem Fall mit der Zahl der Entscheidungen abnimmt.

	noMoRe			smodels	
	no	yes	yes	with	(without)
backprop					
jumping	no	no	yes	lookahead	
ham_k_7	14335	14335	2945	4814	(34077)
ham_k_8	82200	82200	24240	688595	(86364)
ind_cir_20	539	317	276*	276	(276)
ind_cir_30	9266	5264	4609*	4609	(4609)
p1_step4	-	464	176	7	(69)
p2_step6	-	13654	3779	75	(3700)
col4x4	27680	27680	7811	7811	(102226)
col5x5	-	-	580985	580985	(2.3 Mil)
queens4	84	84	5	1	(11)
queens5	326	326	13	9	(34)

*Tabelle 1: Benchmarks für NoMoRe
Gemessen wurden die Zahl der nicht-deterministischen Entscheidungen bis zum Auffinden aller Lösungen.*

	noMoRe			smodels		dlv
	no	yes	yes	with (without)	lookahead	
backprop						
jumping	no	no	yes			
ham_k_7	17.6	3.25	3.92	0.38	(0.16)	0.1
ham_k_8	328.86	35.86	44.23	7.69	(3.57)	0.71
ind_cir_40	5.84	7.18	7.24	1.31	(0.77)	1.97
ind_cir_50	106.15	127.45	128.99	23.87	(16.81)	40.62
col4x4	1.92	2.51	1.96	0.1	(0.27)	0.36
col5x5	179.38	223.42	180.35	11.54	(41.17)	24.79
queens7	0.73	0.84	0.5	0.08	(0.03)	0.05
queens8	3.82	4.3	1.86	0.32	(0.09)	0.12

*Tabelle 2: Zeit-Benchmarks für NoMoRe
Gemessen wurde die Laufzeit in Sekunden bis zum Auffinden aller Lösungen auf einem AMD 1.4 Ghz-Prozessor*

Der positive Einfluss von Backward propagation und Jumping auf die Zahl der Entscheidungen ist eindeutig zu erkennen. In den mit (*) markierten Fällen erreicht NoMoRe die minimale Anzahl an nötigen nicht-deterministischen Entscheidungen. Die Verwendung von Jumping führt dabei allerdings nur in einem Teil der Fälle zu einer Verbesserung der Laufzeit, wogegen es die Zahl der nicht-deterministischen Entscheidungen in jedem Fall deutlich reduziert.

Seit der Veröffentlichung der angegebenen Benchmarks wurde NoMoRe weiter verbessert und erreicht im Fall des 4-Damen-Problems und des 5-Damen-Problems nun auch die minimale Anzahl an Entscheidungen. Im Vergleich zu smodels [5] weisen die Entwickler von NoMoRe ausdrücklich darauf hin, dass ihr System zum Zeitpunkt der Veröffentlichung noch nicht über einen Lookahead verfügte. Ferner führen sie einige Leistungsunterschiede auf unterschiedliche Heuristiken beim Treffen der nicht-deterministischen Entscheidungen zurück und kündigen in [2] weitere Verbesserungen auf diesem Gebiet an.

Grenzen regelbasierter Systeme

Die positiven Effekte der Erweiterung der Implementierung dürfen allerdings nicht darüber hinweg täuschen, dass auch dem Einsatz regelbasierter Systeme grundsätzliche Grenzen gesetzt sind, die sich am Beispiel des n-Damen-Problems gut beobachten lassen. Als Ergänzung zu Tabelle 1 sind dazu die folgenden Werte von Interesse:

4-Queens: 208 Regeln, 2 Lösungen, 1 Entscheidung

5-Queens: 405 Regeln, 10 Lösungen, 9 Entscheidungen

6-Queens: 700 Regeln, 4 Lösungen, 7 Entscheidungen

Der optimierten Anzahl von nötigen nicht-deterministischen Entscheidungen steht eine unvermeidbar hohe Anzahl von Regeln gegenüber, die in eine begründete Reihenfolge gebracht werden müssen und die die Knoten des Graphen darstellen. NoMore führt Backtracking auf diesem Graphen aus. Da sich die Zahl der nötigen Regeln zur Verhinderung ungültiger Lösungen von der Größenordnung her nicht unter die Zahl der in einer direkten Backtracking-Suche über alle möglichen Positionen auf dem Schachbrett nötigen Vergleiche drücken lässt, kann die Komplexität der Berechnung nicht unter die des klassischen direkten Backtracking-Verfahrens reduziert werden.

Das Auffinden einer einzelnen Lösung für das n-Damen-Problem ist allerdings ohnehin ohne Backtracking in linearer Laufzeit möglich.

V Zusammenfassung

Für bestimmte Probleme stellt die Berechnung von Antwortmengen für logische Programme eine geeignete Methode dar, um das Ziehen sinnvoller Schlüsse als berechenbare Aufgabe durchzuführen.

Das System NoMore ergänzt die grundsätzliche Umsetzung einer graphbasierten Berechnung von Antwortmengen um sinnvolle Erweiterungen, die zu erhöhter Berechnungseffizienz und zu einer Verringerung von nicht-deterministischen Entscheidungen führen. NoMore erreicht damit im Bezug auf die Zahl der Entscheidungen die Qualität ähnlicher Systeme zur Berechnung von Antwortmengen für logische Programme (insbesondere `smodels`). Gleichwohl kann über die Vorzüge von regelbasierter Berechnung gegenüber atombasierter Berechnung noch keine Aussage getroffen werden. Der in der Backward propagation eingeführte Einsatz einer dritten Knotenmarkierung ähnelt dabei dem von `dlv` eingesetzten dritten Wert für Atome [4], wobei auch hier die Unterschiede zur atombasierten Berechnung noch nicht ausreichend analysiert sind.

Die gefundenen Antwortmengen werden grundsätzlich ohne weitere Bearbeitung als mögliche Lösungen ausgegeben. Eine von der graphischen Berechnung unabhängige Gewichtung von Regeln oder atomaren Aussagen, die eine Bewertung verschiedener Lösungen im Bezug auf ihre Qualität oder Plausibilität ermöglicht, ist allerdings ohne Umstände denkbar.

VI Literatur

- [1] C. Anger, K. Konczak, und T. Linke, Nomore: Non-monotonic reasoning with logic programs. In *Proceedings of the 8th European Conference on Logics in AI, JELIA 2002*, Seite 521-524, Cosenza, Italien, 2002. Springer, LNCS/2424
- [2] C. Anger, K. Konczak, und T. Linke, More on Nomore. In *Proceedings of the 8th European Conference on Logics in AI, JELIA 2002*, Seite 468-480, Cosenza, Italien, 2002. Springer, LNCS/2424
- [3] T. Linke: Graph theoretical characterization and computation of answer sets. In B. Nebel, editor, *Proc. of the IJCAI*, Seite 641-645. Morgan Kaufmann Publishers, 2001.
- [4] W. Faber, N. Leone, und G. Pfeifer. Pushing goal derivation in dlp computations. In M. Gelfond, N. Leone, und G. Pfeifer, editors, *LPNMR*, vol. 1730 of LNAI, Seite 177-191, El Paso, Texas, USA, 1999, Springer Verlag.
- [5] I. Niemelä und P. Simons. Smodels: An implementation of the stable model and well-founded semantics for normal logic programs. In J. Dix, U. Furbach, und A. Nerode, editors, *Proc. of the LPNMR*, Seite 420-429. Springer, 1997.